

**UNIVERSIDADE DE SÃO PAULO
ESCOLA POLITÉCNICA**

**COLETÂNEA DE EXERCÍCIOS DE
MECÂNICA DOS FLUIDOS
APOSTILA N° 12**

**INTRODUÇÃO À DINÂMICA DOS FLUIDOS REAIS
E CAMADA LIMITE.**

**OSWALDO FERNANDES
PROF. ASSISTENTE DE
MECÂNICA DOS FLUIDOS
EPUSP - 1996**

ATENÇÃO: Esta apostila de exercícios é destinada aos alunos da Escola Politécnica da USP para uso exclusivo nas atividades didáticas realizadas nesta instituição de ensino. Está protegida pela Lei de Direito Autoral número 9610 de 19/02/1998, não podendo ser copiada, ou reproduzida por qualquer meio sem autorização escrita dos autores.

APOSTILA N° 12

INTRODUÇÃO À DINÂMICA DOS FLUIDOS REAIS E CAMADA LIMITE

A - INTRODUÇÃO

Esta Apostila abrange exercícios sobre dinâmica dos fluidos reais, incluindo camada limite e lubrificação hidrodinâmica.

B -BIBLIOGRAFIA

MAMED ASSY, TUFI, Mecânica dos Fluidos, Livro-Texto, EPUSP, Capítulos XVIII e XIX.

C - PRINCIPAIS CONCEITOS

C-1 Equação do Movimento de Navier-Stokes para Movimento Laminar de Fluido Incompressível:

$$\rho \ddot{\vec{a}} = \rho \vec{f} - \text{grad} p + \mu \nabla^2 \vec{v}.$$

C-2 Camada Limite Laminar ao Longo da Placa Plana (Desde $x = 0$, até x_{∞}).

a - Espessura da camada limite laminar:

$$\frac{\delta_L}{x} \approx \frac{5,0}{\sqrt{R_x}},$$

onde

$R_x = \frac{v_0 x}{\nu}$, x abscissa ao longo da placa, a partir do bordo de ataque, v_0 = velocidade constante do fluido, ao longe, em relação à placa (paralela a O_x).

b) Coeficiente de atrito local:

$$(C_a)_L = \frac{\tau_0}{\rho v_0^2 / 2} = \frac{0,664}{\sqrt{R_x}}.$$

c) Coeficiente de atrito médio:

$$\overline{[C_a(x)]}_L = \frac{1.328}{\sqrt{R_x}}.$$

d) Força de atrito (ou de arrasto):

$$(F_a)_L = \frac{1}{2} \rho v_0^2 L \bar{C}_a(L), \text{ para cada um dos lados da placa plana, por unidade de largura.}$$

C3- Camada Limite Turbulenta (acima de x_{cr} e até $x = L$, no bordo de fuga)

a) Espessura da camada limite turbulenta:

$$\frac{\delta_T}{x} = \frac{0.37}{R_x^{0.2}}$$

b) Coeficiente de atrito local:

$$(C_a)_T = \frac{\tau_0}{1/2\rho v_0^2} = \frac{0.0592}{R_x^{0.2}}.$$

c) Coeficiente de atrito médio (0 a x):

$$[\overline{C}_a(x)]_T = \frac{0.074}{R_x^{0.2}}.$$

d) Força de atrito (ou de arrasto) para uma placa plana onde há camada limite laminar e turbulenta (por unidade de largura, para um dos lados da placa):

$$F_a = \frac{1}{2} \rho v_0^2 [\overline{C}_a(L)_T L - \overline{C}_a(x_{cr})_T x_{cr} + \overline{C}_a(x_{cr})_L x_{cr}].$$

APOSTILA N° 12

INTRODUÇÃO À DINÂMICA DOS FLUIDOS REAIS.

12.1 - Determinar o diagrama de velocidades para um fluido incompressível, escoando em movimento laminar permanente entre duas placas, sendo uma fixa e a outra móvel. Supor que a pressão p^* seja constante em todos os pontos. Calcular a tensão de cisalhamento na placa inferior.

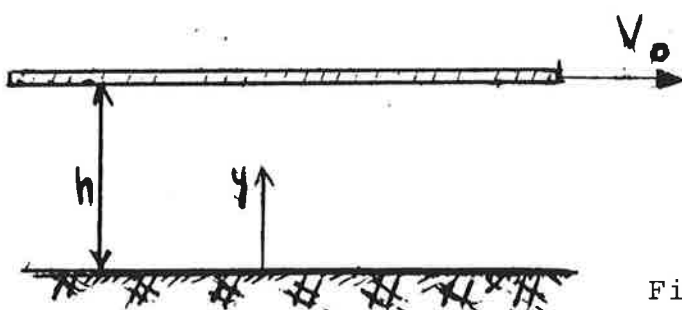


Fig 12.1

Solução:

Aplicando-se a Equação de Navier-Stokes ao escoamento do fluido incompressível em movimento laminar permanente obtemos

$$\rho \ddot{a} - \rho \ddot{g} - \text{grad} p + \mu \nabla^2 \vec{v} = - \text{grad} p^* + \mu \nabla^2 \vec{v},$$

onde

$p^* = p + \gamma z$ = pressão matrizes z = cota da vertical do lugar referida a um plano horizontal de referência e contada de baixo para cima;

μ = coeficiente de viscosidade absoluta ou dinâmica;

$$\vec{v} = v_x \hat{i}_x, \text{ com } v_x = v_x(x, y), v_y = v_z = 0;$$

$$p^* = \text{cte} \text{ e } \text{grad} p^* = 0.$$

Pela Equação da continuidade aplicada ao fluido incompressível:

$$\text{div } \vec{v} = \frac{\partial v_x}{\partial x} + \frac{\partial v_y}{\partial y} + \frac{\partial v_z}{\partial z} = 0.$$

$$\text{Dónde, } \frac{\partial v_x}{\partial x} = 0 \text{ e } v_x = v_x(y), \text{ função só de } y. \text{ (A)}$$

Calculando \vec{a} , obtemos

$$\vec{a} = \frac{d\vec{v}}{dt} = \frac{\partial \vec{v}}{\partial t} + (\vec{v} \times \nabla) \vec{v} = v_x \frac{\partial v_x}{\partial x} \hat{e}_x = 0, \text{ devido a (A).}$$

Temos, então, da Eq. de Navier Stokes

$$\mu \nabla^2 \vec{v} = \mu \nabla^2 v_x \hat{e}_x = 0.$$

Ou seja:

$$0 = \mu \nabla^2 v_x = \mu \left(\frac{\partial^2 v_x}{\partial x^2} + \frac{\partial^2 v_x}{\partial y^2} \right) = \mu \frac{\partial^2 v_x}{\partial y^2} = \mu \frac{d^2 v_x}{dy^2}$$

por ser $v_x = v_x(y)$.

Integrando:

$$\frac{dv_x}{dy} = c_1$$

e

$$v_x = c_1 y + c_2,$$

onde c_1 e c_2 são constantes a serem determinadas através de condições de contorno, a saber:

$$\text{Para } y = 0, v_x = 0;$$

$$y = h, v_x = v_o.$$

Dai,

$$v_x = \frac{v_o y}{h}.$$

A tensão de cisalhamento vale

$$\tau = \mu \frac{dv_x}{dy} = \mu \frac{v_o}{h},$$

constante em todos os pontos, inclusive na placa inferior.

Ex. 12.2 - Um fluido viscoso escoa sobre um plano inclinado como é mostrado na figura. O escoamento é dinamicamente estabelecido e paralelo ao plano. A velocidade não é função da distância ao reservatório. Para uma profundidade h do fluido, determinar:

- o diagrama de velocidades, adotando que o fluido seja incompressível, o regime permanente e o escoamento plano;
- a distribuição das pressões;
- a tensão de cisalhamento no plano inclinado.

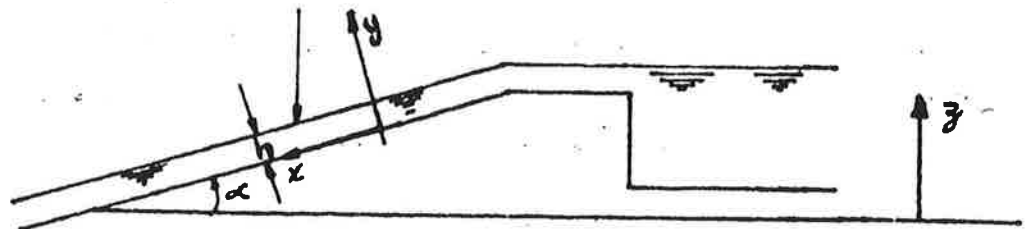


Fig 12.2

Solução:

A aplicação da Equação de Navier-Stokes ao escoamento em consideração nos leva a

$$\vec{a} = \vec{g} - \text{grad}p + \mu \nabla^2 \vec{v},$$

com

$$\vec{v} = v_x \vec{e}_x,$$

$\vec{a} = 0$ (conforme raciocínio aplicado ao problema 6.1),

$$v_x = v_x(y) \text{ - ver problema 6.1.}$$

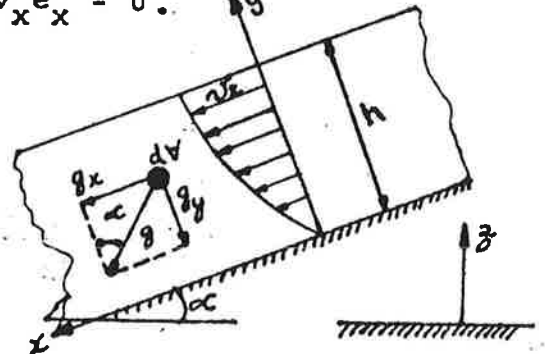
Então:

$$\vec{g} - \text{grad}p + \mu \nabla^2 v_x \vec{e}_x = 0.$$

Segundo \vec{e}_x

$$\rho g_x - \frac{\partial p}{\partial x} + \mu \nabla^2 v_x = 0;$$

$$\rho g \sin \alpha - \frac{\partial p}{\partial x} + \mu \frac{d^2 v_x}{dy^2} = 0 \quad (A)$$

Segundo \vec{e}_y ,

$$\rho g_y - \frac{\partial p}{\partial y} = 0,$$

$$-\rho g \cos \alpha = \frac{\partial p}{\partial y}, \text{ que, integrando, nos fornece}$$

$$p = -\rho g y \cos \alpha + f(x), \text{ pois } p = p(x, y).$$

Mas, para $y = h$, $p = p_0 = 0$ (p_{atm} efetiva) e $f(x) = \mu gh \cos\alpha$.

Dai, a distribuição de pressões

$$p = \rho g(h - y) \cos\alpha \text{ e } \frac{\partial p}{\partial x} = 0.$$

É uma distribuição hidrostática segundo à normal, é y , às linhas de corrente, uma vez que $p + \rho gy \cos\alpha = p + \rho gz = \rho gh \cos\alpha = \text{cte}$. De (A)

$$-\rho g \operatorname{sen}\alpha = \mu \frac{d^2 v_x}{dy^2}, \text{ que, integrando, fornece:}$$

$$v_x = -\frac{\rho g \operatorname{sen}\alpha}{2\mu} y^2 + c_1 y + c_2,$$

onde as constantes c_1 e c_2 são obtidas a partir das condições de contorno a seguir:

$$v_x = 0, \text{ para } y = 0;$$

$$\tau = \mu \frac{dv_x}{dy} = 0, \text{ para } y = h.$$

Então $c_2 = 0$ e $c_1 = \frac{gh \operatorname{sen}\alpha}{\mu}$, o que nos leva ao diagrama de velocidades

$$v_x = \frac{\rho g \operatorname{sen}\alpha}{2\mu} (2h - y)y = \frac{g \operatorname{sen}\alpha}{2\nu} (2h - y)y$$

$$(v_x)_{\max} = \frac{gh^2 \operatorname{sen}\alpha}{2\nu}.$$

A tensão de cisalhamento τ valerá

$$\tau = \mu \frac{dv_x}{dy} = \rho g \operatorname{sen}\alpha (h - y).$$

$$\text{Para } y = 0, \tau_0 = \rho g h \operatorname{sen}\alpha.$$

10.3 - Determinar a distribuição de velocidades e a queda de pressão no escoamento em regime permanente de um fluido incompressível entre duas placas planas fixas, no campo de gravidade.

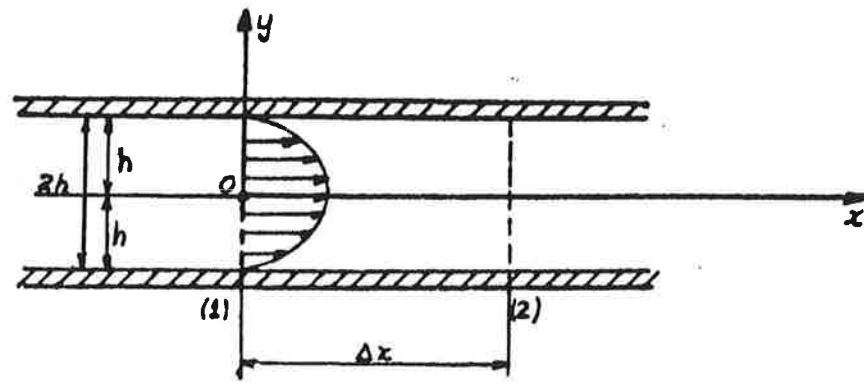


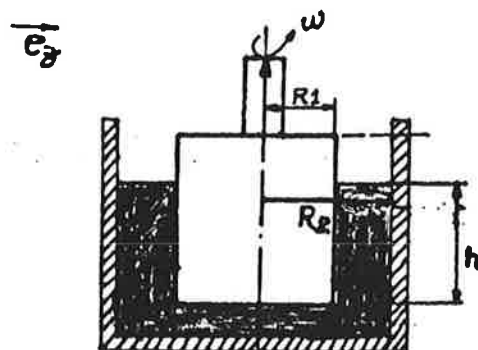
Fig 12.3

Resp.: $v = v_{\max} \left(1 - \frac{y^2}{h^2}\right)$; $(p_1 + \rho g z_1) - (p_2 + \rho g z_2) = \frac{2v_{\max} \mu}{h^2} \Delta x$.

12.4 - Seja um viscosímetro de cilindros coaxiais. Admitir que:

- o escoamento entre os cilindros é laminar e é devido à rotação do cilindro interno;
- as propriedades do fluido são constantes;
- as componentes radiais e verticais das velocidades são nulas;
- despreza-se o efeito do fundo.

Determinar o conjugado necessário para manter o cilindro interno com $\omega = \text{cte}$.



Solução

Fig 12.4

Aplicando-se a equação de Navier Stokes obtemos

$$\rho \ddot{\vec{v}} = \rho \vec{g} - \nabla p + \mu \nabla^2 \vec{v},$$

com

$$\ddot{\vec{v}} = \frac{d\vec{v}}{dt} = \frac{\partial \vec{v}}{\partial t} + (\vec{v} \times \nabla) \vec{v} = \frac{v_\theta}{r} \frac{\partial}{\partial \theta} (v_\theta \hat{e}_\theta) = - \frac{v_\theta^2}{r} \hat{e}_r,$$

uma vez que

$$\vec{v} = v_\theta \hat{e}_\theta, \quad \frac{\partial \hat{e}_\theta}{\partial \theta} = - \hat{e}_r \quad \text{e} \quad \frac{\partial v_\theta}{\partial \theta} = 0, \quad \text{ou seja } v_\theta = v_\theta(r).$$

O último resultado $\frac{\partial v_\theta}{\partial \theta} = 0$ se obtém da equação da continuidade

$$\operatorname{div} \vec{v} = -\frac{\partial v_r}{\partial r} + \frac{1}{r} \frac{\partial v_\theta}{\partial \theta} = 0 \text{ (Fluido incompressível).}$$

Sendo $\vec{g} = -g \hat{e}_z$,

$$-\rho \frac{v_\theta^2}{r^2} \hat{e}_r = -\rho g \hat{e}_z - \frac{\partial p}{\partial r} \hat{e}_r - \frac{\partial p}{r \partial \theta} \hat{e}_\theta - \frac{\partial p}{\partial z} \hat{e}_z + \mu v^2 v_\theta \hat{e}_\theta + \mu v_\theta v^2 \hat{e}_\theta,$$

onde, por simetria, $\frac{\partial p}{\partial \theta} = 0$, ou seja $p = p(r, z)$,

$$\nabla^2 v_\theta = \frac{1}{r} \frac{d}{dr} (r \frac{d}{dr} v_\theta), \text{ pois } v_\theta = v_\theta(r);$$

$$\nabla^2 \hat{e}_\theta = \frac{1}{r^2} \frac{d^2}{d\theta^2} \hat{e}_\theta = \frac{-\hat{e}_\theta}{r^2}.$$

Dai

$$\rho \frac{v_\theta^2}{r^2} = \frac{\partial p}{\partial r}, \quad \frac{\partial p}{\partial z} = -\rho g, \quad \text{donde, } p = -\rho g z + \varphi(r)$$

e

$$\frac{1}{r} \frac{d}{dr} (r \frac{dv_\theta}{dr}) = \frac{v_\theta}{r^2}, \quad \text{ou seja, } r \frac{d^2 v_\theta}{dr^2} + \frac{dv_\theta}{dr} - \frac{v_\theta}{r} = 0. \quad (\text{A})$$

Ora $v_\theta = r$ (diagrama linear de velocidades) é uma solução particular de (A). Consideremos u tal que $v_\theta = u_0 r$. Obtemos, substituindo em (A)

$$ru'' = -3u'$$

e

$$u = -\frac{1}{2r^2}; \quad \text{donde: } y = -\frac{1}{2r}$$

A solução geral de (A) será, então, do tipo:

$v_\theta = \frac{c_1}{r} + c_2 r$ com c_1 e c_2 constantes a determinar pelas condições de contorno a seguir:

- Para $r = R_1$, $v_\theta = \omega R_1$ (condição de aderência completa).

- Para $r = R_2$, $v_\theta = 0$ (idem).

$$\text{Então: } c_1 = \frac{\omega R_1^2 R_2^2}{R_2^2 - R_1^2} \quad \text{e} \quad c_2 = - \frac{\omega R_1^2}{R_2^2 - R_1^2}.$$

O conjugado exercido pelo fluido no cilindro interno
será

$$C' = F \cdot R_1 = \tau_1 2\pi R_1 h \times R_1 = 2\pi R_1^2 h \tau_1,$$

onde

$$\tau_1 = \mu \left(\frac{dv}{dr} \right)_{r=R_1} = \mu \left(c_2 - \frac{c_1}{R_1^2} \right) = - \frac{\mu (R_1^2 + R_2^2)}{R_2^2 - R_1^2}.$$

Dai, sendo

$$C = \text{conjugado exercido sobre o fluido} = - C',$$

$$C = 2\pi \mu \omega h \frac{R_1^2 (R_1^2 + R_2^2)}{R_2^2 - R_1^2}$$

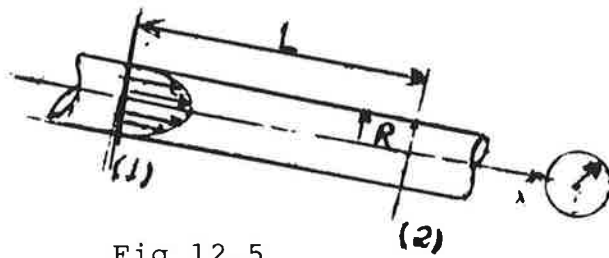
12.5 - Determinar o diagrama de velocidades de um escoamento laminar permanente de um fluido incompressível, num conduto de seção circular. Determinar ainda a perda de carga entre duas seções e o coeficiente de perda de carga distribuída. Equação de Navier Stokes em coordenadas cilíndricas.

$$* \frac{\partial v_r}{\partial t} + v_r \frac{\partial v_r}{\partial r} + \frac{v_\theta \partial v_r}{r \partial \theta} - v_z \frac{\partial v_r}{\partial z} - \frac{v_\theta^2}{r} = - \frac{1}{\rho} \frac{\partial p^*}{\partial r} + \\ + v \left(\frac{\partial^2 v_r}{\partial r^2} + \frac{1}{r} \frac{\partial v_r}{\partial r} + \frac{1}{r^2} \frac{\partial^2 v_r}{\partial \theta^2} + \frac{\partial^2 v_r}{\partial z^2} - \frac{2}{r^2} \frac{\partial v_\theta}{\partial \theta} - \frac{v_r}{r^2} \right);$$

$$* \frac{\partial v_\theta}{\partial t} + v_r \frac{\partial v_\theta}{\partial r} + \frac{v_\theta \partial v_\theta}{r \partial \theta} + v_z \frac{\partial v_\theta}{\partial z} + \frac{v_r v_\theta}{r} = - \frac{1}{\rho r} \frac{\partial p^*}{\partial \theta} + \\ + v \left(\frac{\partial^2 v_\theta}{\partial r^2} + \frac{1}{r} \frac{\partial v_\theta}{\partial r} + \frac{1}{r^2} \frac{\partial^2 v_\theta}{\partial \theta^2} + \frac{\partial^2 v_\theta}{\partial z^2} + \frac{2}{r^2} \frac{\partial v_r}{\partial \theta} - \frac{v_\theta}{r^2} \right);$$

$$* \frac{\partial v_z}{\partial t} + v_r \frac{\partial v_z}{\partial r} + \frac{v_\theta \partial v_z}{r \partial \theta} + v_z \frac{\partial v_z}{\partial z} = - \frac{1}{\rho} \frac{\partial p^*}{\partial z} +$$

$$+ v \left(\frac{\partial^2 v_z}{\partial r^2} + \frac{1}{r} \frac{\partial v_z}{\partial r} + \frac{1}{r^2} \frac{\partial^2 v_z}{\partial \theta^2} + \frac{\partial^2 v_z}{\partial z^2} \right)$$



Lembrar que:

$$\frac{\partial^2 v_z}{\partial r^2} + \frac{1}{r} \frac{\partial v_z}{\partial r} = \frac{1}{r} \left[\frac{\partial}{\partial r} \left(r \frac{\partial v_z}{\partial r} \right) \right]$$

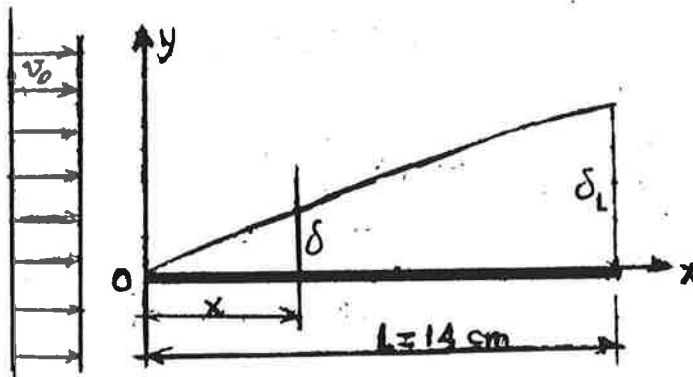
Resp.: $v = v_{\max} \left| 1 - \left(\frac{r}{R} \right)^2 \right|^2 ; h_f = \frac{32 v L \mu}{g \rho D^2} ; f = \frac{64}{Re}$

2.6 - Uma placa plana, extremamente fina e polida acha-se numa corrente uniforme de ar de fraca turbulência e com velocidade de 60 m/s. A placa mede 14 cm de comprimento por 1 m de envergadura. Determinar

- expressão da espessura da camada limite dinâmica, e seu valor no bordo de fuga;
- força de arrasto que age sobre as 2 faces da placa.

Dados $v_{ar} = 0,16 \text{ cm}^2/\text{s}$; $\rho_{ar} = 1,1 \text{ g/litro}$; $c_r = 5 \times 10^5$

Solução:



Verifiquemos inicialmente o tipo de escoamento que tem lugar sobre a placa plana em estudo.

Cálculo do número de Reynolds Re :

$$Re = \frac{v_0 x}{v} = \frac{60x}{0,16 \times 10^{-4}} = 3,75 \times 10^6 x$$

Para $x = L = 0,14 \text{ m}$, obtemos o máximo Re,

$$(Re)_L = 5,3 \times 10^5$$

Como o $(Re)_{cr}$ de passagem do movimento laminar para o turbulento é igual a 5×10^5 , podemos considerar que em toda a placa a camada limite seja laminar, valendo para ela, portanto, as seguintes expressões:

Espessura δ da camada limite, segundo Blasius,

$$\delta = \frac{5x}{\sqrt{Re}} = 2,58 \times 10^{-3} \sqrt{x}.$$

Para $x = L$,

$$\delta_L = 0,001m = 1mm.$$

Coeficiente médio de atrito na placa:

$$C_a = \frac{1332}{\sqrt{R_L}} = 18 \times 10^{-4}.$$

Força de arrasto em cada face:

$$F_a = \frac{1}{2} \rho v_0^2 C_a S =$$

$$F_a = \frac{1}{2} \times \frac{1,1}{10} \times 60^2 \times 18 \times 10^{-4} \times 0,14 \times 1 = \\ = 0,050 \text{ kgf.}$$

Nas duas faces $F_a = 0,10 \text{ kgf.}$

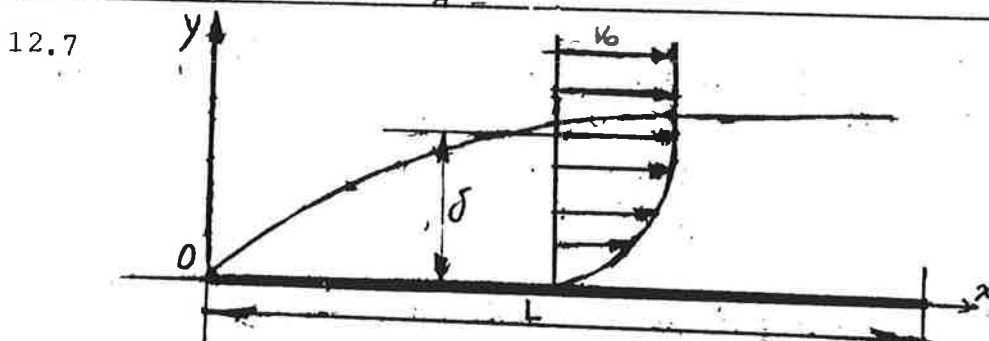


Fig 12.7

- Usando o Lema de Von Kármán para a camada limite ao longo de uma placa plana, determinar o diagrama de velocidades no interior da camada limite e a expressão da espessura da camada limite, ao se considerar tal diagrama parabólico (comparar com a solução de Blasius). Determinar, também, a expressão do coeficiente de atrito local médio e da força de arrasto na placa.

Solução:

Lema de Von Kármán (para $v_o = cTe$)

$$\tau = \frac{d}{dx} \int_0^\delta \rho (v_x v_o - v_x^2) dy = \mu \left(\frac{dv_x}{dy} \right)_{y=0} = \frac{1}{e} \frac{dR_a}{dx},$$

onde e = envergadura da placa.

Perfil parabólico de velocidades:

$$v_x = ay^2 + bx + c,$$

onde a , b e c são constantes a serem determinadas através das condições de contorno:

- para $y = 0$, $v_x = 0$, donde $c = 0$;
- para $y = \delta$ = espessura da camada limite,

$$v_x = v_o,$$

$$v_o = a\delta^2 + b\delta;$$

$$- \text{ para } y = \delta, \frac{\partial v_x}{\partial y} = 2ay + b = 2a\delta + b = 0.$$

Dai,

$$a = \frac{-v_o}{\delta^2} \quad \text{e} \quad b = \frac{2v_o}{\delta}$$

$$v_x = -\frac{v_o y^2}{\delta^2} + \frac{2v_o y}{\delta}.$$

Aplicando o Lema de Von Kármán,

$$\begin{aligned} \tau &= \mu (2ay + b)_{y=0} = \rho \frac{d}{dx} \int_0^\delta \left(\frac{-v_o^2 y^2}{\delta^2} + \frac{2v_o^2 y}{\delta} - \frac{v_o^2 y^4}{\delta^4} - 4v_o^2 \frac{y^2}{\delta^2} + \right. \\ &\quad \left. + 4v_o^2 \frac{y^3}{\delta^3} \right) dy. \end{aligned}$$

$$\begin{aligned} \text{Dai: } &+ \frac{2vv_o}{\delta} = \frac{d}{dx} \left(-\frac{v_o^2}{3} \delta + v_o^2 \delta - \frac{v_o^2 \delta}{5} - \frac{4}{3} v_o^2 \delta + v_o^2 \delta \right) \\ &= \frac{2}{15} v_o^2 \frac{d\delta}{dx}. \end{aligned}$$

Donde,

$$\delta d\delta = \frac{15v}{v_o} dx.$$

Integrando,

$$\delta^2 = \frac{30v}{v_o} x + k.$$

Se para $x = 0$, $\delta = 0$, então $k = 0$ e $\delta/x = 5.48/\sqrt{Re}$, com $Re = v_o x / v$

que se apresenta 10% acima do valor obtido por Blasius.

$$\text{Coeficiente de atrito local. Para } \overline{C}_a(x) = 2C_a(x), \text{ obtem-se } \overline{C}_a(x) = \frac{2\tau}{\frac{1}{2}\rho v_o^2} = \frac{4\mu b}{\rho v_o^2} = \frac{1.46}{\sqrt{Re}}.$$

Segundo Blasius,

$$(\bar{C}_a)_B = \frac{1,332}{\sqrt{Re}} .$$

$$\text{Comparando, } \frac{\bar{C}_a}{(\bar{C}_a)_B} = 1,10 .$$

Força de arrasto

$$R_a = \frac{1}{2} \rho v_o^2 \bar{C}_a S ,$$

onde

$$S = e \cdot L .$$

Ex. 12.8 - Usando o Lema de Von Kármán para a camada limite ao longo de uma placa plana, determinar, para um diagrama de velocidades da forma

$$v_x = ay + by^3 ,$$

- expressão da velocidade v_x ,
- expressão da espessura da camada limite,
- expressão dos coeficientes de atrito local e médio.

Resp.: $v_x = \frac{3v_o}{2} \left(\frac{y}{\delta} \right) - \frac{v_o}{2} \left(\frac{y}{\delta} \right)^3 ; \quad \left| \begin{array}{l} C_a = \frac{0,647}{\sqrt{Re}} ; \\ \delta = \frac{4,64}{Re} \end{array} \right.$

$$\frac{\delta}{x} = \frac{4,64}{Re} \quad \text{com} \quad Re = \frac{v_o x}{v} ; \quad \left| \begin{array}{l} C_a = \frac{1,294}{\sqrt{Re}} . \end{array} \right.$$

Ex. 12.9 - Usando o Lema de Von Kármán para a camada limite ao longo de uma placa plana, determinar, para um diagrama senoidal da forma

$$v_x = a \operatorname{sen} by + C ,$$

- expressão da velocidade v_x ;
- expressão da espessura da camada limite;
- expressão dos coeficientes de atrito local e médio.

Resp.: $v_x = v_0 \operatorname{sen} \frac{\pi y}{2\delta};$

$$\frac{\delta}{x} = \frac{4,79}{\sqrt{Re}}, \text{ com } Re = \frac{v_0 x}{\nu};$$

$$C_a = \frac{0,656}{\sqrt{Re}} \quad e \quad \bar{C}_a = \frac{1,312}{\sqrt{Re}}.$$

Ex. 12.10 - Uma placa plana de 1 m de comprimento por 2 m de largura e de espessura desprezível, cai verticalmente num fluido de viscosidade cinemática $1,5 \times 10^{-6} \text{ m}^2/\text{s}$. A placa pesa 1,6 kgf e desce com velocidade constante de 2,0 m/s. Determinar o ponto da placa no qual haverá transição da camada limite ($\rho = 100 \text{ utm/m}^3$).

Resp.: $x_{cr} = 0,63 \text{ m}.$

Ex. 12.11 - Determinar a espessura da camada limite laminar numa abscissa x , sobre uma placa plana, sabendo-se que $Re = 10^4$ nesta abscissa.

Dados: $\nu = 10^{-5} \text{ m}^2/\text{s}; \quad v_0 = 0,1 \text{ m/s};$

$$\frac{x \bar{C}_a}{2} = \int_0^\delta \frac{\nu}{v_0} \left(1 - \frac{v}{v_0}\right) dy, \quad \bar{C}_a = \text{coeficiente de atrito médio entre 0 e } x.$$

O diagrama de velocidades na camada limite, segundo a normal à placa é $v = \alpha y^3 + \beta y$, com α e β a determinar.

Resp.: $\delta = 4,8 \text{ cm}.$

Ex. 12.12 - Lubrificação hidrodinâmica

Achar as expressões da distribuição de pressões e das forças de sustentação e arrasto para um mancal de sapatas que trabalha conforme esquema da figura e campo das velocidades

$$\vec{v} = v_x \hat{e}_x (v_y = v_z = 0).$$

Determinar, também, a condição de sustentação máxima.

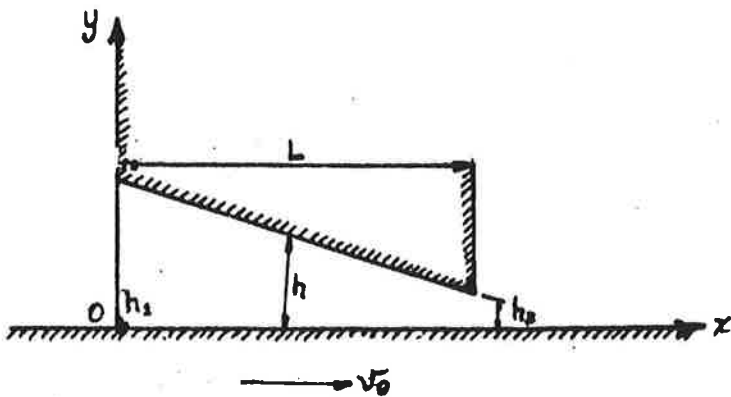


Fig 12.12

Solução:

Aplicando a Equação de Navier-Stokes,

$$\vec{a} = \rho \vec{g} - \text{grad}p + \mu \nabla^2 \vec{v} = - \text{grad}p^* + \mu \nabla^2 \vec{v},$$

com

$p^* = p + \rho g z$ (z = ordenada vertical do local, orientada de baixo para cima);

$$\vec{a} = \frac{d\vec{v}}{dt} = \frac{\partial \vec{v}}{\partial t} + (\vec{v} \times \nabla) \vec{v} = v_x \frac{\partial v_x}{\partial x} \hat{e}_x.$$

Como $\text{div } \vec{v} = \frac{\partial v_x}{\partial x} + \frac{\partial v_y}{\partial z} + \frac{\partial v_z}{\partial z} = 0$, $\vec{a} = 0$, $v_x = v_x(y)$

e

$$\text{grad}p^* = \mu \nabla^2 v_x \hat{e}_x,$$

então

$$\frac{\partial p^*}{\partial y} = 0, \quad \frac{\partial p^*}{\partial z} = 0 \quad \text{e} \quad p^* = p^*(x);$$

$$\frac{\partial p^*}{\partial x} = \mu \nabla^2 v_x = \mu \left(\frac{\partial^2 v_x}{\partial x^2} + \frac{\partial^2 v_x}{\partial y^2} \right) = \mu \frac{\partial^2 v_x}{\partial y^2}.$$

Como o primeiro membro é só função de x e o segundo só função de y ,

$$\frac{dp^*}{dx} = A,$$

$$\mu \frac{d^2 v_x}{dy^2} = A,$$

onde $A = \text{cte}$.

Integrando,

$$v_x = \frac{Ay^2}{2\mu} + c_1 y + c_2 ,$$

com c_1 e c_2 constantes a determinar pelas condições de contorno:

$$\text{Para } y = 0, \quad v_x(0) = v .$$

$$\text{Para } y = h, \quad v_x(h) = 0 .$$

Dai,

$$v_x = \frac{Ay}{2\mu} (y - h) - \frac{v_o}{h} (y - h) = \left(\frac{Ay}{2\mu} - \frac{v_o}{h} \right) (y - h) .$$

Para uma largura de sapata unitária (normalmente ao plano $x0y$) a vazão Q de lubrificante será dada por:

$$Q = \int_0^h v_x dy = \frac{v_o h}{2} - \frac{Ah^3}{12\mu} .$$

Distribuição das pressões p^* :

$$A = \frac{dp^*}{dx} = \frac{6\mu v_o}{h^2} - \frac{12\mu Q}{h^3} ,$$

$$\text{onde } h = h(x) = h_1 - mx \quad \text{e} \quad m = \frac{h_1 - h_2}{L} .$$

Integrando,

$$p^* = \frac{6\mu v_o}{m(h_1 - mx)} - \frac{6\mu Q}{m(h_1 - mx)^2} + c_3 = p \quad (\text{se se desprezar o efeito da gravidade pois } h \text{ é } \underline{\text{pequeno}}).$$

Condições de contorno: Para $x = 0$ e $x = L$, $p = 0$.

Então:

$$Q = \frac{v_o h_1 h_2}{h_1 + h_2} \quad \text{e} \quad c_3 = - \frac{6\mu v_o}{m(h_1 + h_2)} \quad \text{e} \quad p = \frac{6\mu v_o x(h - h_2)}{h^2(h_1 + h_2)} .$$

$$\text{Se } h > h_2, \quad p > 0; \quad p_{\max} = \frac{3\mu v_o L(h_1 - h_2)}{2h_1 h_2 (h_1 + h_2)} \quad \text{para} \quad \bar{x} = \frac{h_1 L}{h_1 + h_2} \quad \text{e}$$

$$\bar{h} = \frac{2h_1 h_2}{h_1 + h_2} .$$

A força F de sustentação será $F = \int_0^L pdx$ por unidade de largura do mancal.

$$F = \frac{6\mu v_o L}{h_2^2(k-1)^2} \left[\ln k - 2 \frac{k-1}{k+1} \right] \text{ com } k = \frac{h_1}{h_2} .$$

$$\text{A força de arrasto será } F_a = \int_0^L \tau_o dx = \int_0^L \mu \left| \frac{dv}{dy} \right|_{y=0} dx ;$$

$$F_a = 2\mu \frac{v_o L}{h_2(k-1)} \left[2\ln k - 3 \frac{k-1}{k+1} \right] .$$

$$F \text{ é máximo para } k = 2,2, \text{ quando ,então, } F_{\max} = \frac{0,16\mu v_o L^2}{h_2^2} .$$